
HSNV125 - Élément de volume en traction / cisaillement et température variables

Résumé :

Ce test, proposé par l'IPSI pour la journée Phi2As du 30 Mars 2000 sur les comportements non linéaires permet de valider la bonne prise en compte de la variation des coefficients avec la température pour trois modèles de comportement élastoplastiques (plasticité parfaite, écrouissage cinématique linéaire, et écrouissage cinématique non linéaire) et un modèle élasto-visco-plastique en 3D, et de montrer la capacité de ces modèles à mettre en évidence un effet de rochet ou d'accommodation.

On teste également le modèle `VMIS_CIN2_MEMO`, permettant de prendre en compte l'effet de mémoire maximum d'écrouissage, avec des paramètres choisis pour correspondre à `VMIS_CIN2_CHAB`.

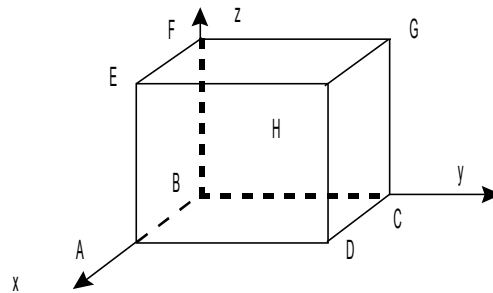
Cinq modélisations permettent de valider chacun de ces comportements. Deux modélisations supplémentaires permettent de tester d'une part l'optimisation du pas de temps en chargement thermique, et d'autre part le mot clé `TEMP_DEF_ALPHA`.

Les solutions de référence sont numériques. Elles sont obtenues avec le code Zébulon™.

1 Problème de référence

1.1 Géométrie

Élément de volume matérialisé par un cube de côté unitaire (1 mm) :



1.2 Propriétés des matériaux

Module d'Young : $E(T) = 2 \cdot 10^5 - 10^5 \left(\frac{T-100}{960} \right)^2$ (en MPa) T en °celcius

Coefficient de Poisson : $n = 0.3$,

Coefficient de dilatation thermique sécant défini à partir de $20^\circ C$:

$$\alpha(T) = 10^{-5} + 10^{-5} \left(\frac{T-100}{960} \right)^4 \quad (\text{en } ^\circ C^{-1})$$

Le matériau est élastoplastique avec différents types de comportement :

C1 : Plasticité parfaite :

$$\sigma_y(T) = 500 - 25 \left(\frac{T-100}{96} \right) \quad (\text{en MPa})$$

C2 : Écrouissage cinématique linéaire : (expression uniaxiale)

$$(\sigma - X)_{eq} = \sigma_y(T)$$

$$X = \frac{2}{3} C(T) \varepsilon^P$$

$$\sigma_y(T) = 100 \quad (\text{en MPa})$$

$$C(T) = 40000 - 3500 \left(\frac{T-100}{96} \right) \quad (\text{en MPa})$$

C3 : Ecrouissage cinématique non linéaire : (expression uniaxiale)

$$(\sigma - X)_{eq} = \sigma_y(T)$$

$$X = \frac{2}{3} C(T) \alpha$$

$$\dot{\alpha} = \dot{\varepsilon}^P - D(T) \alpha \dot{p}$$

$$\sigma_y(T) = 100 \quad (\text{en MPa})$$

$$C(T) = 2 \cdot 10^6 - 192500 \left(\frac{T-100}{96} \right) \quad (\text{en MPa})$$

$$D(T) = 5000 - 450 \left(\frac{T-100}{96} \right)$$

C4 : Viscoplasticité à écrouissage cinématique non linéaire : (expression uniaxiale)

$$(\sigma - X)_{eq} = R(T, p) + \sigma_v(T)$$

$$X = \frac{2}{3} C(T) \alpha$$

$$\dot{\alpha} = \dot{\varepsilon}^P - D(T) \alpha \dot{p}$$

$$\dot{p} = \left\langle \frac{(\sigma - X)_{eq} - R(T, p)}{K} \right\rangle^n$$

$$R(p, T) = Q(t) (1 - e^{-b(t)p}) + \sigma_y(T)$$

$$\sigma_y(T) = 200 \quad (\text{en MPa}), \quad Q(t) = -100, \quad b(t) = 20$$

$$C(T) = 1 \cdot 10^6 - 98500 \left(\frac{T-100}{96} \right)$$

$$K(T) = 300 - 300 \left(\frac{T-700}{700} \right) \quad (\text{en MPa})$$

$$n(T) = 7 - \left(\frac{T-100}{160} \right)$$

$$D(T) = 5000 - 5(T-100)$$

1.3 Conditions aux limites et chargements

Tels que les états de contraintes et de déformation soient uniformes dans l'élément de volume :

- Point *B* bloqué en *x*, *y* et *z*. Point *A* bloqué en *z*, $Dx=0$ sur la face *ADHE*
- Déplacement imposé sur la face *BCFG* : Dx

Forces tangentielles réparties F_c produisant un état de cisaillement constant dans le cube SIXY :

- F_y sur les faces *ADHE* et *BCFG*
- F_x sur les faces *DCHG* et *ABEF*.

Température uniforme $T(t)$ sur le cube. La température de référence vaut $20^\circ C$.

Dx , F_c et T varient en fonction du temps de la façon suivante :

instant $t(s)$	0	1	61	121	181	241	301	361	421	481
$F_c(t)$ (Mpa)	0	100	100	100	100	100	100	100	100	100
$Dx(t)$ (mm)	0	0	-0.02	0	-0.02	0	-0.02	0	-0.02	0
$T(t)$ (°C)	1060	1060	100	1060	100	1060	100	1060	100	1060

2 Solution de référence

2.1 Méthode de calcul utilisée pour la solution de référence

Résultats numériques obtenus avec le code Zébulon™ et proposés comme solutions de référence pour la journée ϕ^2 As [bib1].

2.2 Résultats de référence

Evolution de la contrainte axiale SIXX, de la déformation axiale EPXX et de la déformation de cisaillement EPXY (en un point quelconque du volume car les champs y sont homogènes) en fonction du temps pour le dernier cycle.

Remarque :

La déformation EPXX indiquée en référence est la déformation à partir de l'instant 0. Dans Code Aster, on effectue un calcul préliminaire à partir d'un instant où la température est égale à la température de référence. On ajoute donc la déformation correspondante (0.0208) à EPXX.

plasticité parfaite	Instant (s)	SIXX (Mpa)	EPXX	EPXX tot	EPXY
	421	-469.15	-2 10 ⁻²	8 10 ⁻⁴	1.4658 10 ⁻²
maximum local de SIXX	447.4	349.52			1.4832 10 ⁻²
	461.8	281			1.5527 10 ⁻²
	478.6	-195.84			1.6161 10 ⁻²
fin du cycle	481	-180.52	0	2.08 10 ⁻²	1.7483 10 ⁻²
écr. ciné. linéaire	Instant (s)	SIXX (Mpa)	EPXX	EPXX tot	EPXY
	421	-72.91	-2 10 ⁻²	8 10 ⁻⁴	5.4288 10 ⁻³
maximum local de SIXX	453.4	200.68			5.5542 10 ⁻³
	461.8	188.66			5.7411 10 ⁻³
	471.4	5.84			5.9022 10 ⁻³
fin du cycle	481	-75.29	0	2.08 10 ⁻²	8.2185 10 ⁻³
écr. ciné. non linéaire	Instant (s)	SIXX (Mpa)	EPXX	EPXX tot	EPXY
	421	-414.63	-2 10 ⁻²	8 10 ⁻⁴	1.1528 10 ⁻²
maximum local de SIXX	454.6	369.6			1.2022 10 ⁻²
	465.4	284.24			1.2302 10 ⁻²
	472.6	79.88			1.2471 10 ⁻²
fin du cycle	481	-118.65	0	2.08 10 ⁻²	1.5157 10 ⁻²
écr. ciné. non linéaire	Instant (s)	SIXX (Mpa)	EPXX	EPXX tot	EPXY
	421	-337.04	-2 10 ⁻²	8 10 ⁻⁴	1.4608 10 ⁻²
maximum local de SIXX	449.8	320.54			1.5251 10 ⁻²
	465.4	211.13			1.5917 10 ⁻²
	473.8	-31.97			1.6086 10 ⁻²
fin du cycle	481	-89.69	0	2.08 10 ⁻²	1.9981 10 ⁻²

On teste aussi le maximum en élasticité de SIXX = 884.234 MPa pour une température de 668.2°C

2.3 Précision sur les résultats de référence

Les résultats dépendant fortement de la discrétisation temporelle, on peut estimer la précision de la solution, obtenue pour une discrétisation fine, à 1%.

2.4 Références bibliographique

[1] IPSI : journée d'étude ϕ^2 As du 30 mars 2000 : comportements non linéaires des matériaux.

3 Modélisation A

3.1 Caractéristiques de la modélisation

Comportement *CI* : plasticité parfaite, en 3D. 1 pas de temps entre $t=-1$ et $t=0$, 10 pas de temps entre $t=0$ et $t=1$ et 1 pas de temps par seconde ensuite.

3.2 Caractéristiques du maillage

Le maillage comporte une maille HEXA8

3.3 Grandeurs testées et résultats

Contrainte SIXX (MPa)	Instant(s)	Référence	Code_Aster	% diff
SIXX NŒUD 1	421	-469.15	-469.04	-0.02
SIXX NŒUD 1	447.4	349.52	351.287	0.5
SIXX NŒUD 1	461.8	281	279.27	-0.6
SIXX NŒUD 1	478.6	-195.84	-191.67	-2.1
SIXX NŒUD 1	481	-180.52	-180.278	-0.1

Déformation EPXX	Instant(s)	Référence	Code_Aster	% diff
EPXXNŒUD 1	421	$8 \cdot 10^{-4}$	$8 \cdot 10^{-4}$	0
EPXX NŒUD 1	481	$2.08 \cdot 10^{-2}$	$2.08 \cdot 10^{-2}$	0

Déformation EPXY	Instant(s)	Référence	Code_Aster	% diff
EPXY NŒUD 1	421	$1.4658 \cdot 10^{-2}$	$1.4761 \cdot 10^{-2}$	0.7
EPXY NŒUD 1	447.4	$1.4832 \cdot 10^{-2}$	$1.4849 \cdot 10^{-2}$	0.1
EPXY NŒUD 1	461.8	$1.5527 \cdot 10^{-2}$	$1.5576 \cdot 10^{-2}$	0.3
EPXY NŒUD 1	478.6	$1.6161 \cdot 10^{-2}$	$1.6439 \cdot 10^{-2}$	1.7
EPXY NŒUD 1	481	$1.7483 \cdot 10^{-2}$	$1.7542 \cdot 10^{-2}$	0.3

4 Modélisation B

4.1 Caractéristiques de la modélisation

Comportement C2 : écoulement cinématique linéaire, en 3D (comportement VMIS_CINE_LINE). 972 pas de temps au total (1 pas correspond à 0.5 seconde). On simule aussi ce comportement avec VMIS_CIN1_CHAB. Les résultats sont identiques.

4.2 Caractéristiques du maillage

Le maillage comporte une maille HEXA8.

4.3 Grandeurs testées et résultats

Contrainte SIXX (MPa)	Instant(s)	Référence	Code_Aster	% diff
SIXX NŒUD 1	421	-72.91	-72.81	-0.41
SIXX NŒUD 1	453.4	200.68	200.6	0
SIXX NŒUD 1	461.8	188.66	187	-0.36
SIXX NŒUD 1	471.4	5.84	5.3	-0.99
SIXX NŒUD 1	481	-75.29	-74.7	-0.88

Déformation EPXX	Instant(s)	Référence	Code_Aster	% diff
EPXX NŒUD 1	421	$8 \cdot 10^{-4}$	$8 \cdot 10^{-4}$	0
EPXX NŒUD 1	481	$2.08 \cdot 10^{-2}$	$2.08 \cdot 10^{-2}$	0

Déformation EPXY	Instant(s)	Référence	Code_Aster	% diff
EPXY NŒUD 1	421	$5.4288 \cdot 10^{-3}$	$5.462 \cdot 10^{-3}$	0.6
EPXY NŒUD 1	453.4	$5.5542 \cdot 10^{-3}$	$5.56 \cdot 10^{-3}$	0.1
EPXY NŒUD 1	461.8	$5.7411 \cdot 10^{-3}$	$5.748 \cdot 10^{-3}$	0.1
EPXY NŒUD 1	471.4	$5.9022 \cdot 10^{-3}$	$5.9104 \cdot 10^{-3}$	0.1
EPXY NŒUD 1	481	$8.2185 \cdot 10^{-3}$	$8.3367 \cdot 10^{-3}$	1.4

5 Modélisation C

5.1 Caractéristiques de la modélisation

Comportement C3 : écrouissage cinématique non linéaire en 3D. Il est modélisé avec les comportements VMIS_CIN1_CHAB et VMIS_CIN2_CHAB, qui donnent le même résultat.

5.2 Caractéristiques du maillage

Le maillage comporte une maille HEXA8.

5.3 Grandeurs testées et résultats

Contrainte SIXX (MPa)	Instant(s)	Référence	Code_Aster	% diff
SIXX NŒUD 1	421	-414.63	-415.03	0.1
SIXX NŒUD 1	454.6	369.6	369.52	-0.02
SIXX NŒUD 1	465.4	284.24	290.9 (t=465)	2.3
SIXX NŒUD 1	472.6	79.88	-	-
SIXX NŒUD 1	473	-	65.45	Non régression
SIXX NŒUD 1	481	-118.65	-118.98	0.3
Déformation EPXX	Instant(s)	Référence	Code_Aster	% diff
EPXX NŒUD 1	421	$8 \cdot 10^{-4}$	$8 \cdot 10^{-4}$	0
EPXX NŒUD 1	481	$2.08 \cdot 10^{-2}$	$2.08 \cdot 10^{-2}$	0
Déformation EPXY	Instant(s)	Référence	Code_Aster	% diff
EPXY NŒUD 1	421	$1.1528 \cdot 10^{-2}$	$1.1591 \cdot 10^{-2}$	0.6
EPXY NŒUD 1	454.6	$1.2022 \cdot 10^{-2}$	$1.2099 \cdot 10^{-2}$	0.7
EPXY NŒUD 1	465.4	$1.2302 \cdot 10^{-2}$	$1.2359 \cdot 10^{-2}$	0.5
EPXY NŒUD 1	472.6	$1.2471 \cdot 10^{-2}$	$1.2578 \cdot 10^{-2}$	0.9
EPXY NŒUD 1	481	$1.5157 \cdot 10^{-2}$	$1.5215 \cdot 10^{-2}$	0.4

Comportement	Valeur testée	Instant(s)	Référence	Code_Aster	% diff
VMIS_CIN1_CHAB	SIXX	24	581.5	581.5	$< 10^{-4}$
	SIXX	61	-273.45	-273.45	$< 10^{-4}$
	SIXX	91	404.2	404.2	$< 10^{-4}$
	SIXX	121	-117.1	-117.1	$< 10^{-4}$
	EPXY	61	$2.232 \cdot 10^{-3}$	$2.232 \cdot 10^{-3}$	$< 10^{-4}$
	EPXY	121	$6.017 \cdot 10^{-3}$	$6.017 \cdot 10^{-3}$	$< 10^{-4}$
VMIS_CIN2_CHAB	SIXX	24	581.5	581.5	$< 10^{-4}$
	SIXX	61	-273.45	-273.45	$< 10^{-4}$
	SIXX	91	404.2	404.2	$< 10^{-4}$
	SIXX	121	-117.1	-117.1	$< 10^{-4}$
	EPXY	61	$2.232 \cdot 10^{-3}$	$2.232 \cdot 10^{-3}$	$< 10^{-4}$
	EPXY	121	$6.017 \cdot 10^{-3}$	$6.017 \cdot 10^{-3}$	$< 10^{-4}$

Tableau 5.3-1: Valeurs de non régression au premier cycle

6 Modélisation D

6.1 Caractéristiques de la modélisation

Comportement C4 : viscoplasticité à écrouissage cinématique non linéaire en 3D. Il est modélisé avec le comportement `viscochab`.

6.2 Caractéristiques du maillage

Le maillage comporte une maille HEXA8.

6.3 Grandeurs testées et résultats

Contrainte SIXX (MPa)	Instant(s)	Référence	Code_Aster	% diff
SIXX NŒUD 1	481	-337.04	-335.65	-0.4
SIXX NŒUD 1	510	320.54	318.05	-0.77
SIXX NŒUD 1	525	211.13	209.36	-0.8
SIXX NŒUD 1	534	-31.97	-28.8	-9.9
SIXX NŒUD 1	579	-89.79	-72.13	-19
Déformation EPXX	Instant(s)	Référence	Code_Aster	% diff
EPXXNŒUD 1	481	$8 \cdot 10^{-4}$	$8 \cdot 10^{-4}$	0
EPXX NŒUD 1	579	$2.08 \cdot 10^{-2}$	$2.08 \cdot 10^{-2}$	0
Déformation EPXY	Instant(s)	Référence	Code_Aster	% diff
EPXY NŒUD 1	481	$1.4608 \cdot 10^{-2}$	$1.5435 \cdot 10^{-2}$	5.6
EPXY NŒUD 1	510	$1.5251 \cdot 10^{-2}$	$1.611 \cdot 10^{-2}$	5.6
EPXY NŒUD 1	525	$1.5917 \cdot 10^{-2}$	$1.6778 \cdot 10^{-2}$	5.4
EPXY NŒUD 1	534	$1.6086 \cdot 10^{-2}$	$1.7021 \cdot 10^{-2}$	5.8
EPXY NŒUD 1	579	$1.9981 \cdot 10^{-2}$	$2.1384 \cdot 10^{-2}$	7

7 Modélisation E

7.1 Caractéristiques de la modélisation

Comportement VMIS_CIN2_MEMO : écrouissage cinématique non linéaire, pouvant prendre en compte l'effet de mémoire maxi d'écrouissage. Il est comparé avec les comportements VMIS_CIN1_CHAB et VMIS_CIN2_CHAB.

Les paramètres gérant l'effet de mémoire sont :

- $ETA=0.5$
- $Q0=Qm=0$
- $Mu=0$

Ce qui conduit à effectuer tous les calculs relatifs à l'effet de mémoire sans modifier les résultats en comparaison de VMIS_CIN2_CHAB.

7.2 Grandeurs testées et résultats

Contrainte SIXX (MPa)	Instant(s)	Référence	Code_Aster	% diff	
SIXX NŒUD 1	421	-414.63	-415.03	0.1	
SIXX NŒUD 1	454.6	369.6	369.52	-0.02	
SIXX NŒUD 1	465.4	284.24	290.9 (t=465)	2.3	
SIXX NŒUD 1	472.6	79.88	Pas de résultat à cet instant	-	
SIXX NŒUD 1	473	-	65.45	non régression	
SIXX NŒUD 1	481	-118.65	-118.98	0.3	
Déformation EPXX	Instant(s)	Référence	Code_Aster	% diff	
EPXXNŒUD 1	421	$8 \cdot 10^{-4}$	$8 \cdot 10^{-4}$	0	
EPXX NŒUD 1	481	$2.08 \cdot 10^{-2}$	$2.08 \cdot 10^{-2}$	0	
Déformation EPXY	Instant(s)	Référence	Code_Aster	% diff	
EPXY NŒUD 1	421	$1.1528 \cdot 10^{-2}$	$1.1591 \cdot 10^{-2}$	0.6	
EPXY NŒUD 1	454.6	$1.2022 \cdot 10^{-2}$	$1.2099 \cdot 10^{-2}$	0.7	
EPXY NŒUD 1	465.4	$1.2302 \cdot 10^{-2}$	$1.2359 \cdot 10^{-2}$	0.5	
EPXY NŒUD 1	472.6	$1.2471 \cdot 10^{-2}$	$1.2578 \cdot 10^{-2}$	0.9	
EPXY NŒUD 1	481	$1.5157 \cdot 10^{-2}$	$1.5215 \cdot 10^{-2}$	0.4	
Comportement	Valeur testée	Instant(s)	Référence	Code_Aster	% diff
VMIS_CIN2_MEMO	SIXX	24	581.5	581.5	$< 10^{-4}$
	SIXX	61	-273.45	-273.45	$< 10^{-4}$
	SIXX	91	404.2	404.2	$< 10^{-4}$
	SIXX	121	-117.1	-117.1	$< 10^{-4}$
	EPXY	61	$2.232 \cdot 10^{-3}$	$2.232 \cdot 10^{-3}$	$< 10^{-4}$
	EPXY	121	$6.017 \cdot 10^{-3}$	$6.017 \cdot 10^{-3}$	$< 10^{-4}$

Tableau 7.2-1: Valeurs de non régression au premier cycle

8 Modélisation F

8.1 Caractéristiques de la modélisation

Cette modélisation est identique à la modélisation B : Comportement C2 : écrouissage cinématique linéaire, en 3D (comportement VMIS_CINE_LINE). 972 pas de temps au total (1 pas correspond à 0.5 seconde).

La modélisation sert à tester le mot clé TEMP_DEF_ALPHA : le coefficient de dilatation sécant est transformé de façon à être défini à partir de TEMP_DEF_ALPHA= Tdef = -100 °C : au lieu d'utiliser

$$\alpha(T) \text{ défini auparavant : } \alpha(T) = 10^{-5} + 10^{-5} \left(\frac{T-100}{960} \right)^4 \text{ (en } ^\circ\text{C}^{-1} \text{)}$$

on utilise $\alpha_{Tdef}(T)$ avec :

$$\alpha_{Tdef}(T) = \frac{\alpha(T)(T - T_{ref}) + \alpha(T_{Def})(T_{ref} - T_{Def})}{(T - T_{Def})} = \frac{\alpha(T)(T - 20) + \alpha(-100)(20 - (-100))}{(T - (-100))}$$

Cette transformation ne doit pas changer les résultats, qui doivent rester identiques à la modélisation B.

8.2 Caractéristiques du maillage

Le maillage comporte une maille HEXA8.

8.3 Grandeurs testées et résultats

Contrainte SIXX (MPa)	Instant(s)	Référence	Code_Aster	% diff
SIXX NŒUD 1	421	-72.91	-72.61	- 0.4
SIXX NŒUD 1	453.4	200.68	200.68	0.002
SIXX NŒUD 1	461.8	188.66	187.97	- 0.4
SIXX NŒUD 1	471.4	5.84	5.782	-1
SIXX NŒUD 1	481	-75.29	-74.63	- 0.88

Déformation EPXX	Instant(s)	Référence	Code_Aster	% diff
EPXX NŒUD 1	421	8 10 ⁻⁴	8 10 ⁻⁴	0
EPXX NŒUD 1	481	2.08 10 ⁻²	2.08 10 ⁻²	0

Déformation EPXY	Instant(s)	Référence	Code_Aster	% diff
EPXY NŒUD 1	421	5.4288 10 ⁻³	5.462 10 ⁻³	0.6
EPXY NŒUD 1	453.4	5.5542 10 ⁻³	5.56 10 ⁻³	0.12
EPXY NŒUD 1	461.8	5.7411 10 ⁻³	5.748 10 ⁻³	0.12
EPXY NŒUD 1	471.4	5.9022 10 ⁻³	5.910 10 ⁻³	0.2
EPXY NŒUD 1	481	8.2185 10 ⁻³	8.336 10 ⁻³	1.4

9 Modélisation G

9.1 Caractéristiques de la modélisation

Les données de cette modélisation est identique à la modélisation D : Comportement *C4* : écrouissage cinématique non linéaire, viscosité, en 3D, mais avec le comportement *VISC_CIN1_CHAB*. 579 pas de temps au total (60 pas par cycle).

9.2 Caractéristiques du maillage

Le maillage comporte une maille HEXA8.

9.3 Grandeurs testées et résultats

Contrainte SIXX (MPa)	Instant(s)	Référence	Code_Aster	% diff
SIXX NŒUD 1	481	-337.04	-333.65	-1
SIXX NŒUD 1	510	320.54	315.25	-1.6
SIXX NŒUD 1	525	211.13	209.91	-0.6
SIXX NŒUD 1	534	-31.97	-27.67	-13.5
SIXX NŒUD 1	579	-89.79	-71.44	-20
Déformation EPXX	Instant(s)	Référence	Code_Aster	% diff
EPXXNŒUD 1	481	$8 \cdot 10^{-4}$	$8 \cdot 10^{-4}$	0
EPXX NŒUD 1	579	$2.08 \cdot 10^{-2}$	$2.08 \cdot 10^{-2}$	0
Déformation EPXY	Instant(s)	Référence	Code_Aster	% diff
EPXY NŒUD 1	481	$1.4608 \cdot 10^{-2}$	$1.5917 \cdot 10^{-2}$	9
EPXY NŒUD 1	510	$1.5251 \cdot 10^{-2}$	$1.6595 \cdot 10^{-2}$	8
EPXY NŒUD 1	525	$1.5917 \cdot 10^{-2}$	$1.7258 \cdot 10^{-2}$	8
EPXY NŒUD 1	534	$1.6086 \cdot 10^{-2}$	$1.75021 \cdot 10^{-2}$	9
EPXY NŒUD 1	579	$1.9981 \cdot 10^{-2}$	$2.1984 \cdot 10^{-2}$	10

Les écarts relativement importants sont dus à la discrétisation en temps (relativement grossière ici, permettant le calcul complet en 60s environ). En raffinant le pas de temps, la convergence est bonne.

Les tests sont doublés dans le fichier de commandes de tests de non régression.

10 Synthèse des résultats

Ce test permet de mettre en évidence les effets de chargements cycliques (accommodation ou rochet) avec variation des coefficients des comportements élastoplastiques avec la température.

Ce test permet donc de valider l'intégration des comportements VMIS_ISOT_LINE, VMIS_CINE_LINE, VMIS_CIN1_CHAB, VMIS_CIN2_CHAB, VISC_CIN1_CHAB, VMIS_CIN2_MEMO et VISCOCHAB par rapport à la variation des coefficients avec la température et la prise en compte des chargements cycliques.

Il permet de plus de valider la bonne prise en compte d'une température de définition du coefficient de dilatation sécant différente de la température de référence.